

## نوع ژنتیکی و فیتوشیمیایی ژرم پلاسم انار (*Punica granatum*) استان کرمان با استفاده از نشانگرهای مولکولی و کروماتوگرافی

Genetic and phytochemical diversity of *Punica granatum* germplasm in Kerman province using molecular markers and chromatography

سارا خسروی<sup>۱</sup>، غلامرضا شریفی سیرچی<sup>۲\*</sup>، امین باقیزاده<sup>۳</sup>

۱- کارشناس ارشد، دانشگاه شهید باهنر کرمان

۲- دانشیار، دانشکده کشاورزی و منابع طبیعی، دانشگاه هرمزگان

۳- دانشیار، پژوهشگاه علوم و تکنولوژی پیشرفت و علوم محیطی، دانشگاه تحصیلات تکمیلی صنعتی و فناوری پیشرفت، کرمان

Khosravi S<sup>1</sup>, Sharifi-Sirchi GR<sup>\*2</sup>, Baghizade A<sup>3</sup>

1. Graduated MSc, Shahid Bahonar University of Kerman, Iran

2. Associate Professor, University of Hormozgan, Bandar Abbas, Iran

3. Associate Professor, Institute of Science, High Technology and Environmental Sciences, Graduate University of Advanced Technology, Kerman

\* نویسنده مسئول مکاتبات، پست الکترونیکی: sharifi-sirchi@hormozgan.ac.ir

(تاریخ دریافت: ۹۲/۱۱/۲ - تاریخ پذیرش: ۹۳/۹/۱۸)

### چکیده

انار با نام علمی *Punica granatum* L. از جمله درختانی است که علاوه بر داشتن میوه خوشمزه، گل، پوست میوه، ریشه و ساقه آن در صنعت داروسازی و رنگرزی مورد استفاده فراوان قرار می‌گیرد. انار بومی ایران بوده و بیشترین سطح زیور کشت این گیاه در دنیا متعلق به ایران است. انار در نواحی خشک، معتدل و گرم و تقریباً مرطوب استان کرمان به طور گسترده با تنوع ذیستی نسبتاً زیاد کشت می‌شود. به منظور بررسی تنوع ژنتیکی و فیتوشیمیایی ژرم پلاسم انار استان کرمان تعداد ۲۰ ژنوتیپ از مناطق مختلف استان کرمان جمع-آوری شدند. ۱۵ آغازگر RAPD و سه آغازگر ISSR جهت انجام واکنش زنجیره‌ای پلیمراز استفاده شد. پس از انجام الکتروفورز در مجموع ۱۸۶ باند ایجاد شد که در محدوده ۲۴۰ تا ۲۸۰۰ جفت باز قرار داشتند و از بین آنها ۱۶۹ باند (درصد ۹۱) چند شکلی نشان دادند. در نتیجه تجزیه کلستر، ۲۰ ژنوتیپ مورد مطالعه در ۴ گروه جایابی شدند که تقریباً با تنوع جغرافیایی و وضعیت آب و هوایی همخوانی داشتند. نتایج گاز کروماتوگرافی- طیف سنجی جرمی ترکیبات شیمیایی انسانس پوست انارهای ترش کوهبنان، شیرین چترود و ملس ماهان به ترتیب ۴۰، ۲۴ و ۱۸ ماده با درصد مشابهت بالای ۹۰ را نشان داد. در انار ترش کوهبنان بیشترین ترکیبات انسانس به ترتیب شامل هگزاد کانوئیک اسید، اکتاد-کان و هگزادسن، در انار شیرین چترود به ترتیب شامل تتراد-کانول، دود-کانول و تری دس-۱-آل و در انار ملس ماهان به ترتیب شامل هگزادسن، اکتاد-کان و هگزاد کانوئیک اسید بودند.

### واژه‌های کلیدی

اسانس

انار

تنوع ژنتیکی

گاز کروماتوگرافی- طیف سنجی جرمی

نشانگر مولکولی

## مقدمه

در مطالعه‌ای با استفاده از تکنیک RFLP بر روی DNA ریبوزومی ده کولتیوار انار به بررسی تنوع ژنتیکی آنها پرداختند. با توجه به مقایسات دوتایی و ترسیم دندروگرام تشابه معلوم شد که همه نمونه‌های مورد مطالعه در این دندروگرام با هم تفاوت داشتند. با این حال سطوح بالایی از روابط خوبی‌شاندنی ژنتیکی تخمين زده شد. در این مطالعه، ارتباط ضعیفی بین ویژگی‌های ژنتیکی و مورفولوژیکی انار وجود داشت (Melgarejo et al. 2009).

در مطالعه‌ای، ۳۶ ژنوتیپ انار از ۷ منطقه مختلف ساوه جمع‌آوری شد و از ۴۴ مارکر ISSR و RAPD استفاده شد که از این تعداد ۱۹ مارکر پلی‌مورفیسم نشان دادند و بر اساس نتایج ژنوتیپ‌ها را در سه گروه اصلی دسته‌بندی کردند. تجزیه‌های واریانس مولکولی نشان داد که تنوع ژنتیکی معنی‌داری در میان ژنوتیپ‌های انار در محل‌های مختلف (۷ گروه محلی) وجود ندارد به طوری که از این تنوع مشاهد شده تنها دو درصد آن ناشی از اختلاف درون گروهی بود و ۹۸ درصد باقی‌مانده آن ناشی از اختلاف درون گروهی بود (NoorMohammai 2012). در سال ۲۰۰۶ تنوع ژنتیکی ۲۴ ژنوتیپ انار ایرانی استان کرج با استفاده از ۱۰۰ مارکر رپید بررسی شد که از میان آنها تنها ۱۶ مارکر پلی-مورفیسم نشان دادند و در مجموع ۱۷۸ باند تولید کردند که ۱۰۲ باند چند شکلی نشان دادند. بر اساس این نتایج ژنوتیپ‌ها در ۴ گروه تقسیم‌بندی شدند. این مطالعه نشان داد که استفاده از مارکر رپید ابزار مناسبی برای بررسی تنوع ژنتیکی می‌باشد (Sarkhosh 2006).

اروزه، اهمیت انار به عنوان گیاه دارویی روز به روز در حال افزایش است. بنابراین شناخت ترکیبات موثر در اندام‌های مختلف آن و نقش آنها در مسیرهای متابولیکی درمان بیماری‌ها از ضروریات به نظر می‌رسد. متابولیت‌های موجود در قسمت‌های مختلف میوه و درخت انار شامل انواع قندها، اسیدهای آلی، آکالووییدها، پلی‌فنل‌ها، فلاونووییدها، آنتوسیانین‌ها، اسیدهای چرب، ویتامین‌ها و نظایر آن است. آکالووییدها بیشتر در پوست انار یافت می‌شوند و مهمترین آکالوویید شناخته شده انار شامل پل‌هتیرین و مشتقان آن ایزو پل‌هتیرین، متیل پل‌هتیرین، و پزودوپل‌هتیرین است (Zargari 1996). به علاوه در پوست انار ترکیبات ضد باکتریایی، قارچی و ویروسی وجود دارد. انواع ترکیبات فنلی و تاننی در انار

انار با نام علمی L. *Punica granatum* و نام انگلیسی Pomegranate گیاهی متعلق به خانواده Lythraceae است (Morris 2007; Hajiahmadi et al. 2013). مطابق با نظریه دکاندول و شواهد موجود، انار بومی ایران و کشورهای همجوار آن است. خصوصیات خاص این گیاه از جمله شکل، رنگ، گل، میوه از یک طرف و مقاومت به شرایط نامساعد محیطی باعث شده که این درختچه خصوصاً در مناطق کویری مورد اقبال خاصی قرار بگیرد (The Third Seminar of Pomegranate 1994; Mirjalili 2002). امروزه انار در اکثر نقاط دنیا از مناطق آسیای مرکزی تا هیمالیا، خاورمیانه، آسیای صغیر و حوزه مدیترانه اروپا و آمریکا گسترش یافته است. در حدود ۷۶۰ ژنوتیپ، کولتیوار و گونه انار در ایران وجود دارد (Shahr Babaki 1998). در اکثر نقاط دنیا دسته‌بندی و نام‌گذاری درختان انار بر اساس تقریباً ۲۹ صفت فنوتیپی است. در استان کرمان (واقع در بین عرض‌های حدود ۲۶ تا ۳۲ درجه شمالی در جنوب شرق ایران با آب و هوای متنوع کویری و خشک، کوهستانی و گرمسیری) نیز که یکی از مناطق گسترش این درخت می‌باشد کولتیوارهای مختلف بر اساس ناحیه و منطقه جغرافیایی پیدا شوند، شکل، رنگ و مزه نامگذاری می‌شوند. هر چند جنبه‌های فنوتیپی هنوز برای دسته‌بندی انواع مختلف انار استفاده می‌شوند، کارایی بالای نشانگرهای مولکولی DNA در انگشت نگاری ژنتیکی به لحاظ سرعت، دقت، عدم تاثیر پذیری از محیط و اثرات مادری و سن گیاه سبب استفاده روزافزون آنها در درختان شده است. در درختان انار مارکرهای مولکولی DNA مختلفی از جمله ISSR، SSR، SRAP و AFLP استفاده می‌شود (Ercisli et al. 2007; Jbir et al. 2008; Pirseyedi et al. 2010; Ercisli et al. 2011; Talebi et al. 2011; Parvaresh et al. 2012; Soleimani et al. 2012). اما مارکرهای مولکولی RAPD (به دلیل سادگی کار، کارایی، عدم نیاز به توالی‌بایی و تکنیک‌های بلاستنیک) و ISSR (استفاده از واکنش زنجیره‌ای پلیمراز، توارث بارز و ارائه پلی-مورفیسم مناسب) پرکاربردترین آنها در انگشت نگاری‌های ژنتیکی و برآورده ارتباط ژنتیکی در ژرم‌پلاسم انار می‌باشند (Sarkhosh et al. 2006; Yuan et al. 2007; Jbir et al. 2008; Sheidai et al. 2008).

۱۰ دقیقه در دمای اتاق به وسیله سانتریفیوژ یخچال دار مدل Unicen MR سانتریفیوژ شد و مایع رویی به تیوب جدید انتقال داده شد. هم حجم مایع رویی ایزوآمیلکل اضافه شد و به خوبی ورتکس شد. سپس در  $g \times 14000$  به مدت ۱۰ دقیقه در دمای اتاق سانتریفیوژ شد، در این مرحله سه فاز تشکیل شد که مایع رویی به تیوب جدید انتقال داده شد این مرحله ۵-۴ بار با توجه به میزان آلدگی تکرار شد. هم حجم مایع رویی ایزوپروپانول اضافه شد و به وسیله وارونه کردن مخلوط شد. آنگاه در  $25^\circ C$  به مدت یک ساعت قرار داده شد. سپس در  $g \times 7000$  به مدت ۱۰ دقیقه در دمای اتاق سانتریفیوژ شد. مایع رویی دور ریخته شد و پلت با یک میلی لیتر از بافر شستشو (اتانول ۷۵ درصد) شسته شد. مرحله شستشو دو بار تکرار شد.

جدول ۱- خصوصیات و مناطق جمع‌آوری انارها

منطقه	مزه	رنگ پوست	آب و هوای
باغین	ملس	قرمز	نسبتاً معتدل
بافت	ملس	قرمز	معتدل کوهستانی
بردسیر	شیرین	زرد	معتدل کوهستانی
بلورد	ترش	قرمز	سرد و معتدل
به	ملس	زرد	گرم و خشک
جوپار	ترش	قرمز	خشک و معتدل
جیرفت	ترش	صورتی	گرم و مرطوب
چترود	شیرین	صورتی	معتدل خشک
رابر	ترش	قرمز	سرد و معتدل
راور	ملس	صورتی	گرم و خشک
رفستجان	ترش	صورتی	نیمه کویری
زرند	ملس	صورتی	معتدل
سیرجان	شیرین	صورتی	معتدل و خشک
سیرچ	شیرین	صورتی	معتدل سردسیری
شهداد	ملس	صورتی	گرم و خشک
کرمان	زرد	زرد	خشک و معتدل
کهنه‌ج	ملس	زرد	گرم و خشک
کوهبنان	ترش	زرد	نیمه بیابانی
ماهان	ملس	قرمز	نیمه بیابانی
منجان	شیرین	زرد	گرم و مرطوب

سپس در  $g \times 9000$  به مدت ۱۰ دقیقه در دمای اتاق سانتریفیوژ شد. مایع رویی دور ریخته شد و پلت در دمای اتاق خشک شد. آنگاه پلت در  $1\text{ ml}$  از بافر TE [تریس اسید کلریدریک با  $\text{pH}=8$  (۱۰۰ میلی مولار) و اتیلن دی آمین تراستات با  $\text{pH}=8$  (۱۰۰ میلی مولار)] حل شد، در صورت وجود آلدگی در  $g \times 14000$  به

ubar tend az alzirk asid, galirk asid, ponikalin, klorozinik asid, hidroksisi sinamik asid, protokatichik asid, hidroksisi benzoyik asid, kafetik asid, frilik asid, komariik asid, fluridzin, koersttin, katicin, p-komariik asid ve aw-flumariik asid hemçinin flavonoidlari موجود dr mivo anar lotolin, kamperrol ve naritizin hastend ke be surut glikozidyi yafat mi shound (Aviram et al. 2000).

arzibabi نوع ژنتیکی موجود dr zerm plasm yek kone zraavi h m dr tephahai be nazadi ve h m hafazat az manab ژentiki karebord darad (Sun et al. 2003). Yek az mtaowl trin rosh molkul h amrozeh jeht teyin nong ژentiki gonneha ve arqam giah h astfahde mi shoud rosh RAPD ast (Hoque et al. 2002). Banbarain haf ehsan dr ayn tefqiq, berrsi nong ژentiki ve fityoshimiyaii ژnotib h h anar astan krmn ba astfahde az nshangrh h molkul h RAPD ve ISSR ve kromatogravi gazi-teif snjji jormi be mtnozor frahem ordon atlalat ژentiki ve fityoshimiyaii lazim jeht brnameh h h aislahi bud.

## مواد و روش‌ها

brg h h gye anar az 20 rovishgah mxtal dr astan krmn jum aori shd (جدول ۱).

astxra DNA ve berrsi km h kifiy an be dly وجود pli sakanrid ve pli fntil bsiyar ziad dr braft brg anar, az rosh tfigir yafte CTAB, jeht astxra ژnomi be shرح dzil astfahde shd (Krizman et al. 2006). گرم az brg anar dr daaxil haon be kmk azt maim be chort poudr dr aordde shd, blafasle 1/5 ml az bafra astxra [tris asid kloridrrik ba pH=8 (100 mili molar), kloridssidim (do molar), atiln di Amine ttra astat ba pH=8 (20 mili molar), stiel tri metil amoniym bromid (do drصد (w/v)), pli vinyil pirolidon (do drصد (w/v))] be hemrah 20 batmerekaptatanol be anضافه شد ve be xobi mخلوط shd. Mخلوط daaxil tiobph ba waroneh krdn be xobi mخلوط shd. Sipis tiobph dr bn mar h 55C be mdt yk shb qrar dade shd dr mrlle bdtiobph dr g 14000 be mdt

مرحله در ۴۰ چرخه تکرار شد؛ اتصال آغازگر به DNA تک رشته‌ای در دمای اتصال بهینه مربوط به هر آغازگر به مدت ۴۰ ثانیه، بسط آغازگر در دمای ۷۲°C به مدت دو دقیقه؛ ۳- تکمیل بسط در دمای ۷۲°C به مدت ۸ دقیقه (یک چرخه). به منظور بررسی تکرارپذیری نوارهای RAPD و ISSR عمل PCR تحت شرایط یکسان، به طور تصادفی بر روی DNAهای گیاهان مورد نظر دوباره انجام شد که تکرارپذیری باندهای حاصل تایید شد.

#### الکتروفورز ژل آکارز

قطعات PCR شده برای هر آغازگر روی ژل آکارز یک درصد (W/V) در بافر (1X) TBE [تریس، اسید بوریک و اتیلن دی آمین تترا استات با  $pH = 8.0/5.0$  مولار] جدا شدند. نمونه‌ها به مدت ۱۲۰ دقیقه با جریان ۸۰ ولت الکتروفورز شدند. دستگاه مورد استفاده در این تحقیق از نوع الکتروفورز افقی مدل E132 از شرکت Consort بلژیک بود. ژل با اتیدیوم بروماید ( $10 \mu\text{g/ml}$ ) به مدت ۱۰ دقیقه رنگ آمیزی و سپس با آب مقطر شستشو داده شد. آنگاه ژل درون دستگاه ژل-داک مدل Syngene تحت اشعه ماوراء بنفش قرار گرفت و پس از مشاهده نوارها در زیر این نور، Genesnap (6.08.04) از ژل با فرمتهای مختلف توسط نرم افزار (6.08.04) عکس تهیه شد (شکل ۱). نشانگر وزن مولکولی ( $100 \text{ bp}$ ) محصول شرکت فرمتاز به میزان دو میکرولیتر در هر ژل برای شناسایی و امتیازدهی باندها مورد استفاده قرار گرفت.

#### تجزیه آماری ماتریس داده‌ها

از ۲۴ آغازگر تصادفی تعداد ۱۸ آغازگر که باندهای بهتری داشتند جهت تجزیه انتخاب شدند (جدول ۲). برای تجزیه آماری داده‌ها، در ابتدا باندهای واضح را مشخص کرده و با توجه به اندازه نشانگر استاندارد  $100 \text{ bp}$  اندازه هر کدام از باندهای واضح در هر چاهک را بر اساس طول و وزن مولکولی استاندارد مشخص شد. این عمل توسط نرم افزار Genetools در تمام ژلهای مربوط به ۱۸ آغازگر انجام پذیرفت. هر کدام از باندهای چند شکل در هر آغازگر به عنوان یک متغیر مستقل در نظر گرفته شد. حضور یا عدم حضور هر کدام از باندهای مشاهده شده برای هر یک از ۱۸ آغازگر به ترتیب با اعداد یک و صفر امتیازدهی شدند و سپس در نرم افزار Excel یک ماتریس از اعداد صفر و یک برای آغازگرهای مورد استفاده تهیه شد. سپس داده‌ها به NTedit، بخش

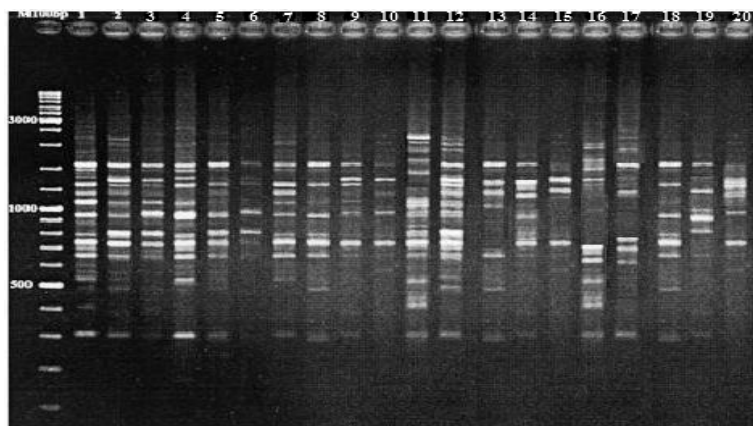
مدت ۱۰ دقیقه در دمای اتاق سانتریفیوژ شد و مایع رویی به تیوب جدید انتقال داده شد. جهت مشاهده چشمی وضعیت DNA استخراجی، الکتروفورز نمونه‌های DNA روی ژل آکارز یک درصد انجام شد و پس از رنگ آمیزی با اتیدیوم بروماید زیر نور UV در دستگاه ژل‌داک مشاهده شدند. در این روش شکستگی DNA در ژل آکارز قابل بررسی است. DNA شکسته شده بر روی ژل آکارز به صورت لکه یا اسمیر و یا به صورت قطعه‌هایی با وزن مولکولی کم مشاهده می‌شود. از روش اسپکتروفوتومتری برای تعیین کمیت و کیفیت DNA استفاده شد. برای انجام این کار از دستگاه اسپکتروفوتومتر 50 carry 50 ساخت کمپانی Varian استفاده شد. بدین ترتیب نمونه‌های با  $2 \text{ OD}_{260/280} = 1/1.8$  که خلوص خوبی داشتند، انتخاب شدند.

#### انجام واکنش زنجیره‌ای پلیمراز

تمامی مواد مورد استفاده برای PCR به جز DNA، آب مقطّر و آغازگرها به صورت میکروتیوب‌های تجاری و محلول بودند که از شرکت سیناژن تهیه شدند. محلول  $25 \mu\text{l}$  PCR محتوی یک میکرولیتر از DNA الگوی تهیه شده با غلظت  $1 \mu\text{l}/50 \text{ ng}$ ،  $2 \mu\text{l}/5 \text{ mM}$  میکرولیتر  $\text{MgCl}_2$  با غلظت  $2/5 \text{ mM}$ ،  $5 \mu\text{l}$  میکرولیتر dNTP با غلظت  $2/5 \mu\text{M}$ ،  $0.3 \mu\text{l}$  میکرولیتر Taq DNA polymerase با غلظت  $2/5 \text{ unit}/\mu\text{l}$ ، دو میکرولیتر آغازگر با غلظت  $2 \mu\text{l}/5 \mu\text{l}$  بازتراف PCR دارای غلظت  $10 \text{ mM}$  Tris-HCl و  $500 \text{ mM}$  KCl بازتراف [pH=8/4] و  $14/7 \mu\text{l}$  آب دو بار تقطیر استریل بود. ترموسایکلرهای مورد استفاده در این تحقیق در نوع ساده و گردایانت ساخت کمپانی اپندورف بودند. ابتدا دمای بهینه هر آغازگر با استفاده از ترموسایکلر گردایانت (شیب دمایی) بدست آمد. با توجه به اینکه که این دمای بدست آمده به طور متوسط  $5-7^\circ\text{C}$  کمتر از دمای ذوب هر آغازگر بود (جدول ۲) بنابراین در هر واکنش PCR دمای  $5^\circ\text{C}$  چرخه ابتدایی  $5^\circ\text{C}$  درجه پایین‌تر در نظر گرفته شد و  $35$  چرخه باقیمانده آن در دمای ذوب واقعی انجام شد. برنامه دمایی PCR برای همه آغازگرها مشابه بوده و بخش متغیر آن دمای اتصال آغازگر به DNA تک رشتہ بود. شرایط PCR برای کلیه آغازگرها به شرح ذیل بود: ۱- واسرتست آغازین DNA در  $94^\circ\text{C}$  به مدت  $4$  دقیقه (یک چرخه)؛ ۲- تک رشتۀ ای شدن DNA در دمای  $94^\circ\text{C}$  به مدت  $50$  ثانیه (این

جدول ۲- مشخصات آغازگرهای RAPD و ISSR و چندشکلی‌های بدست آمده از ۲۰ ژنوتیپ انار

نام آغازگر	توالی آغازگر <sup>۵</sup> به <sup>۳</sup>	دماه اتصال (C°)	کل باندها	باندهای چندشکل	درصد چندشکل	۹۱/۶
RAPD						
GGTCTCCTAG	A	۳۲	۱۲	۱۱	۹۱/۶	
CGGAGAGCGA	B	۳۴	۸	۷	۸۷/۵	
CGGCATAAGA	C	۳۰	۶	۶	۱۰۰	
TGGGCTCGCT	D	۳۴	۱۲	۱۲	۱۰۰	
ACTTGTGCGC	E	۳۲	۱۰	۸	۸۰	
CCCACTGACG	F	۳۲	۶	۶	۱۰۰	
GAGGTCCAGA	۷۵	۳۶	۱۱	۱۰	۹۰/۹	
CTCCCTGAGC	۵۳	۳۴	۱۳	۱۳	۱۰۰	
GAATGCGAGC	۵۹	۳۲	۹	۷	۷۷/۷	
TTCCCCGCC	۶۳	۳۶	۱۴	۱۴	۱۰۰	
GAGGGGAAGA	۶۸	۳۲	۱۰	۸	۸۰	
GAGGGCGAGG	۷۱	۳۶	۱۰	۹	۹۰	
GAGCACGGGA	۷۲	۳۴	۱۴	۱۴	۱۰۰	
GCGAACCTCG	۳۹۱	۳۴	۱۳	۱۱	۸۴/۶	
TTGCACCTGA	۳۹۹	۳۰	۹	۷	۷۷/۷	
ISSR						
(GA) <sub>۵</sub> GC	ISS2	۴۴	۶	۵	۸۳/۳	
(CA) <sub>۵</sub> GT	ISS3	۴۵	۱۰	۹	۹۰	
(GAA) <sub>۵</sub>	ISS5	۴۲	۱۳	۱۲	۹۲/۳	
-	کل	-	۱۸۶	۱۶۹	-	
-	میانگین	-	۱۰/۳	۹/۳۸	۹۰/۳۱	



شکل ۱- مشاهده نوارهای چندشکلی با نشانگر ۶۸ در ۲۰ ژنوتیپ انار پس از الکتروفورز. چاهکها به ترتیب (۱) انار بردسیر؛ (۲) انار رفسنجان؛ (۳) انار راور؛ (۴) انار باغین؛ (۵) انار زرنده؛ (۶) انار منوجان؛ (۷) انار چترود؛ (۸) انار جویار؛ (۹) انار کرمان؛ (۱۰) انار شهداد؛ (۱۱) انار سیرجان؛ (۱۲) انار سیرچ؛ (۱۳) انار کهنه‌چ؛ (۱۴) انار رابر؛ (۱۵) انار ماهان؛ (۱۶) انار بلورد؛ (۱۷) انار بافت؛ (۱۸) انار بهم؛ (۱۹) انار کوهبنان و (۲۰) انار جیرفت.

\*هر چاهک حاوی یکی از ۲۰ ژنوتیپ انار جمع‌آوری شده از استان کرمان می‌باشد که به ترتیب از یک تا ۲۰ شماره‌گذاری شدند.

همبستگی بین دندروگرام و ماتریس تشابه، ضریب همبستگی کوفتیک محاسبه شد. همچنین تجزیه به مولفه‌های اصلی انجام گرفت و پلات دو بعدی و سه بعدی حاصل از آن رسم شد.

ورودی نرم افزار NTSYS انتقال داده شد. ماتریس تشابه با استفاده از ضریب تشابه دایس به کمک نرم افزار NTSYS-pc (Rohlf 1998) حاصل شد (Ver2/02)، به منظور بررسی

داخلی ۰/۱۸ میلی‌متر و ضخامت لایه نازک ۰/۱۸ میکرومتر انجام گرفت. از گاز هلیوم با خلوص ۹۹/۹۹ درصد به عنوان گاز حامل استفاده شد. برای جداسازی ترکیبات اسانس از برنامه دمایی زیر استفاده شد: دمای آون به مدت ۵ دقیقه در ۶۰ درجه سانتی‌گراد نگداشته شد و سپس تا ۲۷۵ درجه سانتی‌گراد با سرعت ۵ درجه سانتی‌گراد بر دقیقه افزایش یافت. دمای آشکارساز ۲۳۰ درجه سانتی‌گراد، دمای محل تزریق ۲۸۰ درجه سانتی‌گراد، نسبت شکافت ۱:۴۳ و سرعت جريان گاز هلیوم به داخل ستون ۰/۹ میلی‌لیتر بر دقیقه انتخاب شدند.

### نتایج و بحث

مجموعاً ۱۸۶ قطعه DNA توسط ۱۸ آغازگر انتخاب شده برای تجزیه، تکثیر شد که از بین آنها ۱۷ قطعه در بین تمام ۲۰ توده یک شکل بودند و باقی‌مانده آنها (۱۶۹ قطعه) چند شکلی نشان دادند که حاکی از درصد بالای قطعات چند شکل در بین نمونه‌های مورد مطالعه است. تعداد قطعات تکثیر شده با آغازگرهای مختلف متفاوت بود (جدول ۲). بیشترین تعداد باند چند شکل ۱۴ عدد و مربوط به آغازگر ISSR2 بود. اندازه قطعات تکثیر شده در تمام آغازگرها در محدوده ۲۸۰۰-۲۴۰۰ جفت باز تخمین زده شد. دامنه وسیع تشابه (۰/۲۰-۰/۷۱) نشان دهنده کارایی RAPD و ISSR در ارزیابی تنوع مولکولی، نشان دادن اختلافات بین جمعیت‌های مورد مطالعه و گروه‌بندی آنهاست (Huff et all. 1993).

در صورت در نظر گرفتن خط مرجعی در سطح تشابه ۰/۳۳ دندوگرام، چهار خوش متفاوت بدست می‌آید به طوری که پراکندگی جغرافیایی نمونه‌ها را در چهار گروه قرار می‌دهد (شکل ۲)؛ گروه اول که شامل دو زیر گروه اصلی می‌باشد (G1 و G2). زیر گروه الف) که شامل نمونه‌های بردسیر، رابر، رفسنجان، کهنه‌چ، جیرفت، منوجان، کرمان، سیرجان، بلورد، راور، زرند، کوهبنان و ماهان می‌باشد (SG1 شکل ۲) و زیر گروه ب) که شامل باغین و بافت می‌باشد (SG2 شکل ۲). در گروه دوم چترود قرار گرفت (G2 شکل ۲). گروه سوم شامل، بم و شهداد می‌باشد (G3 شکل ۲). گروه چهارم شامل، جوپار و سیچ است (G4 شکل ۲). بیشتر توده‌ها در گروه یک مرکز بودند که تنوع

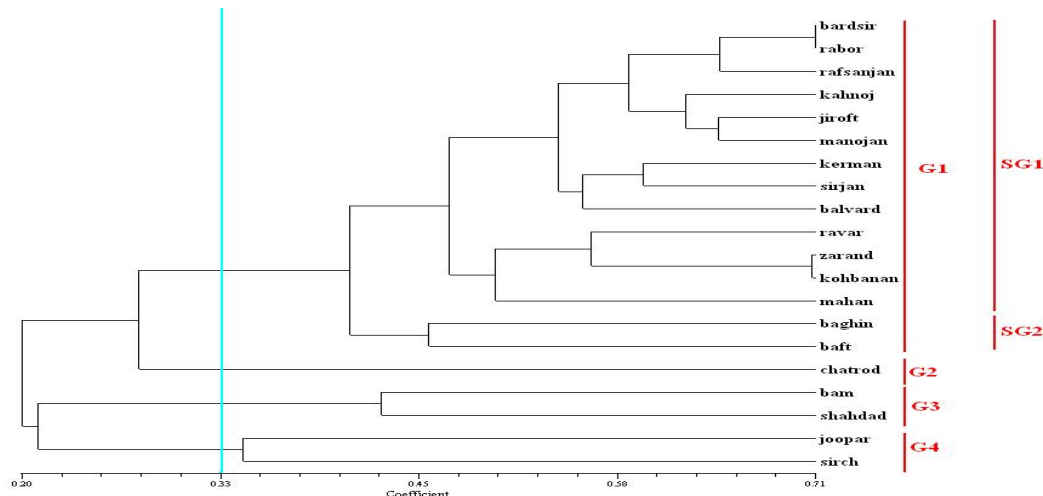
مواد گیاهی برای آزمایش تنوع فیتوشیمیایی از ۲۰ منطقه مورد بررسی سه منطقه چترود (شیرین)، ماهان (ملس)، کوهبنان (ترش) به طور تصادفی انتخاب شدند و پوست میوه انار در این مناطق جمع آوری شد.

اسانس گیری

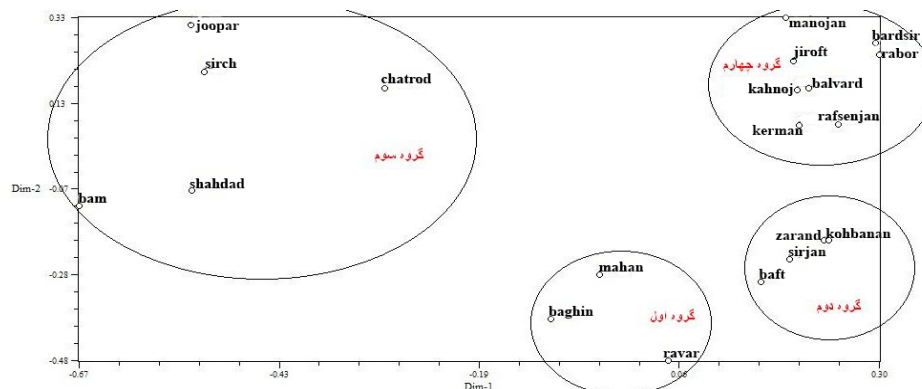
استخراج اسانس با روش تقطیر با آب و با دستگاه کلونجر انجام شد (ASTA 1968). بدین منظور ۲۰ گرم از پوست‌های انار آسیاب شد و سپس به مدت ۲۴ ساعت در آب خیسانده شد آنگاه پوست انار خیسانده شده را وارد بالون مربوطه کرده و تا خط نشانه بالون به آن آب مقطر اضافه شد. در آغاز میزان معینی محلول نمک با غلظت مشخص درون لوله جدا سازی ریخته شد و سپس جریان آب سرد برقرار شد تعدادی سنگ جوش (به منظور جوشش یکنواخت) به محتويات بالون اضافه شد و سپس بالون به دستگاه متصل و دستگاه روشن شد در ابتدا هیتر روی درجه آخر قرار داده شد و وقتی که آب به جوش آمد روی شماره دو ثابت شد. اسانس گیری به مدت ۵ ساعت ادامه یافت سپس دستگاه خاموش و پس از ۴ دقیقه مقدار یک میلی‌لیتر پتان به اسانس جمع‌آوری شده اضافه شد. اضافه کردن پتان به علت کم بودن مقدار اسانس بود و چون پتان حلال خوبی برای اسانس است مقدار اسانس جمع‌آوری شده که به قسمتی از دستگاه به نام لوله‌های مبرد چسبیده را در خود حل کرده و استخراج آن را راحت‌تر می‌کند. اسانس جمع‌آوری شده در داخل شیشه‌های تیره و در بسته جمع‌آوری شد. سپس کل سیستم حلال پتان و ترکیبات فرار توسط سولفات سدیم انیدر آبگیری شد. آنگاه تا زمان تجزیه کمی و کیفی ترکیبات تشکیل دهنده اسانس به وسیله GC/MS<sup>۱</sup> نمونه‌ها در فریزر ۲۰ درجه سانتی‌گراد قرار داده شدند.

کروماتوگرافی گازی طیف سنجی جرمی برای شناسایی ترکیبات موجود در اسانس گیاه، اجزای مشکله اسانس گیاه به کمک دستگاه گازکروماتوگراف مدل ksShimadzu-QP5050 صورت گرفت. جداسازی ترکیبات در ستون موئین Fused silica از نوع DBX-5 با طول ۴۰ متر، قطر

<sup>۱</sup> Gas chromatography- Mass spectrometry



شکل ۲- دندوگرام مربوط به داده‌های حاصل از نشانگر RAPD و ISSR بر اساس الگوریتم میانگین فاصله (UPGMA)



شکل ۳- پلات دو بعدی ۲۰ نمونه انار استان کرمان حاصل از تجزیه به مؤلفه‌های اصلی که در ۴ گروه تقسیم بندی شدند. گروه اول (باغین، راور و ماهان؛ گروه دوم) بافت، زرنده، سیرجان و کوهبنان؛ گروه سوم (بم، جوپار، چترود، شهداد؛ گروه چهارم) بردسر، بلورد، چیرفت، رابر، رفسنجان، کرمان، کهنوج و منجان.

استاندارد، بر اساس سری آنکانهای C<sub>v</sub>-C<sub>19</sub> تزریق شده با شرایط یکسان و مقایسه آنها با اعداد استاندارد موجود در مراجع شناسایی شدند. از ۱۶۴ پیک به دست آمده از گاز کروماتوگرافی پوست انار ترش ۴۰ ماده با شباهت بالاتر از ۹۰ انتخاب شد (جدول ۳)، از ۶۳ پیک بدست آمده از گاز کروماتوگرافی پوست انار شیرین ۲۴ ماده با شباهت بالاتر از ۹۰ انتخاب شد (جدول ۴) و از ۴۵ پیک بدست آمده از گاز کروماتوگرافی پوست انار ملس ۱۸ ماده با شباهت بالاتر از ۹۰ انتخاب شد (جدول ۵). در نمونه پوست انار ترش ماده تریکوزان و نونانال به ترتیب دارای بیشترین و کمترین زمان بازداری می‌باشند. در انسنس پوست این نوع انار، ترکیبات اسید هگزادکانیک، اکتادکان، هگزادکان، ایکوزان و متیل تررادکانات به ترتیب دارای بیشترین مقدار درصد بودند. در انسنس پوست انار شیرین چتروود، نانودکان و دودکان دارای

مولکولی اکثر این ژنوتیپ‌ها تا حد زیادی منطبق بر تنوع جغرافیایی بود. اما مواردی نیز وجود داشت که از تنوع جغرافیایی تعیت نمی‌کردند. مقدار ضریب همبستگی کوفتیک که برابر با ۰/۸۴ بود، نشان داد که دندوگرام بدست آمده و ماتریس تشابه با یکدیگر همبستگی خوبی دارند. نتایج تجزیه به مؤلفه‌های اصلی که در شکل‌های ۳ و ۴ آمده است، با نتایج مربوط به تجزیه کلستر تا حد زیادی همخوانی داشت.

در تجزیه GC-MS برای افزایش دقت شناسایی هر جزء جدا شده، همراه طیف جرمی از ارزش بازداری نسبی (اندیس کواتس) جهت صحه گذاشتن بر شناسایی توسط طیف جرمی استفاده شد. در نهایت اجزای انسنس با استفاده از مقایسه طیف‌های جرمی استاندارد موجود در کتابخانه الکترونیک willey ۲۰۰۰ موجود در نرم افزار lab solution GC/MS و محاسبه اندیس بازداری

جدول ۳- ترکیبات شیمیایی تشکیل دهنده پوست انار ترش کوهبنان (زمان بازداری برحسب ثانیه)

ردیف	نام ترکیب	درصد	زمان بازداری	شاخص بازداری	ردیف	نام ترکیب	درصد	زمان بازداری	شاخص بازداری
۱	Nonanal	۰/۰۷	۱۲/۴۹۵	۱۰۵۳	۲۱	Bisabolol	۰/۲۷	۲۵/۳۸۹	۱۴۹۶/۵۸
۲	Alpha terpineol	۰/۰۲	۱۴/۷۴۵	۱۱۳۰	۲۲	Cinnamaldehyde	۰/۲۱	۲۶/۴۸	۱۵۴۱/۴۹
۳	Dodecane	۰/۰۳	۱۴/۹۴۱	۱۱۲۶	۲۳	Octadecane	۴/۸۵	۲۹/۹۰۶	۱۶۸۳/۶۵
۴	Decanal	۰/۲۱	۱۵/۱	۱۱۳۳/۰۳	۲۴	Pentadecanone	۰/۳۲	۲۷/۸۳۵	۱۵۹۷/۷۲
۵	Naphthalene	۰/۰۲	۱۵/۶۷۲	۱۰۹۹	۲۵	Octadecanol	۰/۴۹	۲۸/۴۷۶	۱۶۲۲/۳۲
۶	Decenal	۰/۰۳	۱۶/۴۴۵	۱۱۷۴/۳۶	۲۶	Nonadecane	۰/۳۲	۲۹/۱۲۳	۱۶۵۱/۵۸
۷	Tridecane	۰/۰۶	۱۷/۳۲۴	۱۲۰۲	۲۷	Farnesyl acetate	۰/۳۲	۲۹/۴۸۲	۱۶۶۶/۰۶
۸	Undecanal	۰/۰۶	۱۷/۵۱	۱۲۰۸/۷۵	۲۸	Eicosane	۲/۱۸	۳۱/۰۰۷	۱۷۴۳/۶۴
۹	Hexyl tiglate	۰/۰۴	۱۸/۰۴۴	۱۲۲۶/۷۳	۲۹	Tricosane	۰/۰۴	۲۸/۳۲	۲۰۹۶/۳۸
۱۰	Undecenal	۰/۰۶	۱۸/۷۸	۱۲۵۱/۰۱	۳۰	Hexadecanoic acid	۴۵/۸۱	۳۴/۷۵۱	۱۹۲۹/۸۰
۱۱	Tetradecane	۰/۱۹	۱۹/۵۰۹	۱۲۷۷/۷	۳۱	Linoleic acid	۰/۸۹	۳۸/۲۸۳	۲۰۹۴/۷۱
۱۲	Dodecanal	۰/۱۳	۱۹/۷۷۱	۱۲۸۴/۸۸	۳۲	Decanoic acid	۰/۷۷	۱۹/۲۵۲	۱۲۶۷/۴
۱۳	Caryophyllen	۰/۸۹	۲۰/۱۱۵	۱۲۹۶/۴۶	۳۳	Farnesene	۰/۴۴	۲۲/۹۸۵	۱۴۰۶/۲
۱۴	Dodecanol	۰/۸۷	۲۱/۱۷۴	۱۳۳۷/۴۱	۳۴	Bisabolene Z- $\alpha$	۰/۱۴	۲۴/۰۷۶	۱۴۴۷/۲۲
۱۵	Benzene	۰/۱۱	۲۱/۳۷۵	۱۳۴۵/۰۶	۳۵	Dodecanoic acid	۱/۰۲	۲۲/۳۳۴	۱۴۱۹/۳۲
۱۶	Pentadecane	۰/۱۷	۲۱/۶۶۱	۱۳۵۵/۹۳	۳۶	Hexadecane	۰/۷۴	۲۷/۵۱۸	۱۵۸۴/۰۵۶۴۳
۱۷	Bisabolene $\beta$	۰/۴۳	۲۱/۹۱	۱۳۶۲/۴	۳۷	Tetradecene	۱/۳۶	۲۲/۹۱۲	۱۴۴۱/۰۵۲۶
۱۸	Methyl undecanoate	۰/۰۳	۲۲/۱۵۹	۱۳۷۴/۸۷	۳۸	Heptadecane	۰/۰۲	۲۶/۸۲۴	۱۵۰۰/۷۶۷۶
۱۹	Tridecen-1-al <(2E)->	۰/۸۹	۲۳/۱۹۷	۱۴۱۴/۱۷	۳۹	Methyl tetradecanate	۱/۳۸	۲۶/۹۹۹	۱۵۶۳/۰۲۹
۲۰	Gurjunene $\beta$ -	۰/۱۳	۲۴/۲۸۴	۱۴۵۵/۰۳	۴۰	Hexadecene	۳/۶۶	۲۸/۹۲۶	۱۶۴۲/۹۸۷۶

جدول ۴ - ترکیبات شیمیایی تشکیل دهنده پوست انار شیرین چترود (زمان بازداری برحسب ثانیه)

ردیف	نام ترکیب	درصد	زمان بازداری	شاخص بازداری	ردیف	نام ترکیب	درصد	زمان بازداری	شاخص بازداری
۱	Dodecane	۰/۲۹	۱۲/۹۷۴	۱۱۷۷/۵	۱۲	Bisabolene $\beta$	۱/۷۵	۲۱/۹۱۵	۱۳۶۵/۶
۲	Decanal	۰/۹۸	۱۵/۱۰۶	۱۱۳۱/۷	۱۲	Bisabolene	۱/۲۲	۲۵/۰۰۳	۱۴۸۳
۳	Tetradecene	۰/۱۲	۲۵/۱۴	۱۴۸۹/۲	۱۵	Sesquiphellandrene $\beta$	۱/۲۸	۲۲/۲۳۸	۱۳۷۷/۹
۴	Tetradecane	۱/۱	۱۹/۵۷	۱۲۷۸/۹	۱۶	Dodecanoic acid	۱/۲۲	۲۳/۰۷	۱۴۰۹/۶
۵	Cedrene	۰/۴۱	۱۹/۹۶۷	۱۲۹۲/۴	۱۷	Tridecene	۵/۱۶	۲۲/۶۵۸	۱۴۳۲/۲
۶	Bergamotene cis	۱/۵۹	۲۰/۴۰۱	۱۳۰۸	۱۸	Hexadecene	۰/۰۷	۲۲/۳۷۱	۱۳۸۲/۹
۷	Caryophyllene	۴/۶۹	۲۰/۱۱۵	۱۲۹۷/۴	۱۹	Hexadecane	۳/۱۷	۲۴/۲۲۴	۱۴۵۴
۸	Geranyl acetone	۰/۹۷	۲۰/۷۱۹	۱۳۲۰/۱	۲۰	Dillapiole	۰/۰۵	۲۴/۲۴۴	۱۴۵۴/۸
۹	Farnesene	۱/۱۳	۲۱/۴۴۹	۱۳۴۷/۹	۲۱	Tetradecanol	۱۰/۲۷	۲۹/۱۲۸	۱۶۴۲/۶
۱۰	Dodecanol	۶/۰۸	۲۱/۱۶۹	۱۳۳۷/۲	۲۲	Heptadecane	۱/۲۲	۲۵/۰۴	۱۵۰۴/۶
۱۱	Curcumene ar	۰/۲۴	۲۱/۳۸۱	۱۳۴۵/۳	۲۲	Octadecane	۳/۰۹	۲۷/۳۷	۱۵۷۵
۱۲	Pentadecane	۰/۹۸	۲۱/۶۶	۱۳۵۵/۹	۲۲	Nonadecane	۰/۹۲	۲۹/۱۲۸	۱۶۴۲/۶

اسانس پوست انار ملس ماهان بیشترین درصد مربوط به هگزادسن، اکتادکان، اسید هگزادکانیک، آلفا-فارنسن و تترادسن بود. هگزادکانوئیک اسید و اکتادکانوئیک اسید موجود در پوست انار ترش دارای فعالیت آنتی اکسیدانتی، ضدسرطانی و ضدالتهاب می‌باشند (Wei et al. 2011; Usharani et al. 2013). همچنین در

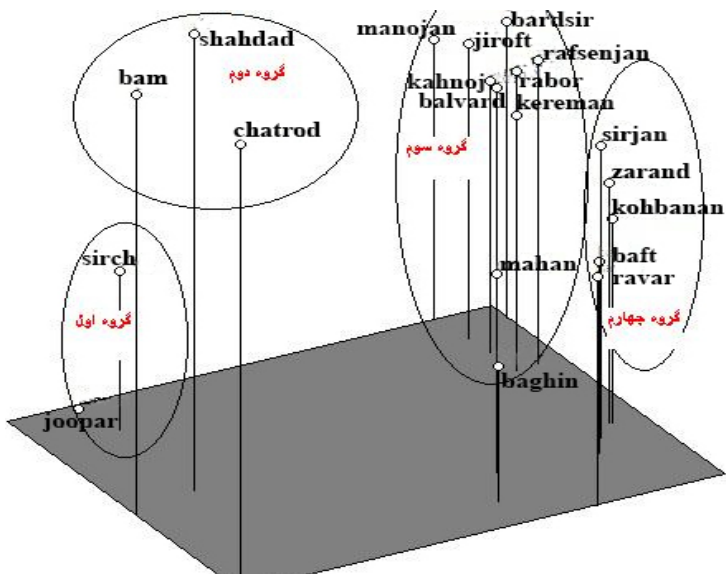
بیشترین و کمترین زمان بازداری بودند. در این اسانس، تترادکانول، تترادسین، اکتادکان، برگاموتون و سکویفلاندرن بیشترین سطح زیر پیک را به خود اختصاص دادند. در اسانس پوست انار ملس ماهان ترکیبات دکانال و هگزادکانال کمترین و بیشترین زمان بازداری را به خود اختصاص دادند. همچنین در

جدول ۵- ترکیبات شیمیایی تشکیل دهنده پوست انار ملس ماهان (زمان بازداری بر حسب ثانیه)

ردیف	نام ترکیب	درصد	زمان بازداری	شاخص بازداری	ردیف	نام ترکیب	درصد	زمان بازداری	شاخص بازداری	ردیف
۱	Decanal	۰/۵۵	۱۱۳۱/۶۸	۱۰۵/۱۰۵	۱۰	Cis-alpha-bisabolene	۰/۳۶	۲۲/۰۹۳	۱۳۹۱/۳۶	
۲	Tetradecane	۱/۴۶	۱۴۶۷/۲۹	۲۴/۶۱	۱۱	Dodecanoic acid	۰/۰۸	۲۳/۰۸۵	۱۴۰۹/۹۶	
۳	Tetradecene	۲/۵۲	۱۴۸۸	۲۵/۱۶۱	۱۲	Hexadecene	۱/۱۷	۲۸/۹	۱۶۲۸/۵۷	
۴	Caryophyllene	۳/۱	۱۲۹۷/۶۱	۲۰/۱۲	۱۳	Hexadecane	۲/۴۸	۲۷/۰۵۵	۱۵۷۸	
۵	Farnesene	۱/۰۷	۱۳۴۷/۸۷	۲۱/۴۴۹	۱۴	Tetradecanal	۰/۰۸	۱۹/۷۷۶	۱۲۸۰/۹۱	
۶	Pentadecane	۱/۰۲	۱۳۵۶/۷۳	۲۱/۶۸۲	۱۵	Pentadecanone	۱/۲۶	۲۸/۲۱۱	۱۶۰۲/۶۶	
۷	Dodecanol	۱/۰۵۳	۱۳۳۶/۸۰	۲۱/۱۵۸	۱۶	Octadecane	۰/۰۳۸	۲۷/۴۲۸	۱۵۷۳/۲۳	
۸	alpha.Farnesene	۳/۱۳	۱۳۶۴/۷۹	۲۱/۸۹۴	۱۷	Nonadecane	۱/۰۶	۲۹/۱۵۷	۱۶۳۸/۲۳	
۹	beta.Sesquiphellandrene cyclohexene	۰/۰۸۴	۱۳۷۸/۱	۲۲/۲۴۴	۱۸	Hexadecanoic acid	۰/۰۲۹	۲۹/۶۶۸	۱۶۵۷/۴۴	

به ترتیب ۰/۸۹، ۰/۲۹ و ۰/۲۹ بود. در یک سطح تشابه شست درصدی، ژنوتیپ‌ها به چهار گروه تقسیم‌بندی شدند. محاسبه ضریب همبستگی فتوتیپی، وجود همبستگی بالایی ( $\chi^2 = ۰/۹$ ) را بین ماتریس تشابه و دندروگرام UPGMA نشان داد که نشان دهنده روابط خویشاوندی میان ارقام است. نتایج نشان داد که ارقام یکسان از دو منطقه جغرافیایی متفاوت، الگوهای یکسانی را نشان ندادند. در بیشتر موارد گروه‌بندی‌ها با خصوصیات مورفو‌لوزیکی و در بعضی موارد، با نام محلی ارقام مطابقت نداشتند (Sarkhosh et al. 2006).

(Sarkhosh



شکل ۴- پلات سه بعدی ۲۰ نمونه انار استان کرمان حاصل از تجزیه به مولفه‌های اصلی که در ۴ گروه تقسیم بندی شدند. گروه اول) شامل جوپار و سیرچ؛ گروه دوم) به، چتود و شهداد؛ گروه سوم) باخین، بردسر، بلورد، رابر، رفسنجان، کرمان، کهنوچ، ماهان و منجان؛ گروه چهارم) بافت، راور، زرنده، سیرجان و کوهبنان.

کاریوفیلین موجود در پوست انار ترش دارای فعالیت ضدبacterیایی، ضدالتهاب، قارچ‌کشی و دارای اثر آرام بخش نیز می‌باشد (Kumar et al. 2010). ترادسن موجود در پوست انار شیرین که میزان آن ۵/۱۲ درصد می‌باشد دارای فعالیت ضد آثیروزیک می‌باشد (Wu et al. 2004). کاریوفیلین یکی از ترکیبات موجود در پوست انار ملس است که به طور گسترده در انسان‌های گیاهی موجود می‌باشد که دارای چندین فعالیت بیولوژیکی مانند اثرات ضد التهاب، آنتی بیوتیک، آنتی اکسیدانی، ضد سرطانی و بی‌حس‌کنندگی موضعی می‌باشد. در تحقیقات گذشته یک غلط غیررسمی از کاریوفیلین، دارای اثر ضد سرطانی بر روی سلول‌های سرطانی بدن انسان می‌باشد (Legault et al. 2007). در تحقیق حاضر، تعداد زیاد نوارهای چند شکل RAPD و ISSR و دامنه وسیع تشابه (۰/۲۰-۰/۷۱) در میان توده‌های انار، وجود نوع ژنتیکی بالایی را در میان جمعیت‌های بومی انار استان کرمان، حتی میان توده‌های نزدیک به هم از لحاظ جغرافیایی، نشان داد. در تحقیقی با استفاده از مارکر RAPD سطوح تنوع را در میان ۲۴ ژنوتیپ انار ایرانی بررسی شده، در این آزمایش از میان صد آغازگر تصادفی ده نوکلئوتیدی بکار رفته در واکنش‌های PCR، تنها شانزده آغازگر توانستند، الگوهای چندشکلی را به صورت قابل اطمینانی نشان دهند. از این آغازگرها ۱۷۸ باند به دست آمد که ۱۰۲ باند چندشکل بودند. تجزیه خوشبندی ژنوتیپ‌ها بر اساس باندهای بدست آمده، با استفاده از ضریب تشابه جاکارد و روش تجزیه خوشبندی UPGMA صورت گرفت. بیشترین و کمترین تشابه بدست آمده در میان ژنوتیپ‌ها

انار وحشی هیمالیای غربی (هند) مقایسه شد. ۴۹ نمونه بین دو منطقه از هیمالیای غربی با استفاده از تکنیک‌های RAPD و DAMA مورد مطالعه قرار گرفتند. از بین شش آغازگر DAMA پنج آغازگر الگوهای واضحی را به وجود آورده‌اند. از مجموع ۱۴۳ باند بدست آمده، ۱۴۰ باند چند شکل (۹۷/۰۸ درصد) را نشان دادند. از ۱۲۰ آغازگر RAPD، ۲۱ آغازگر الگوهای مجرماً واضحی را به وجود آورده‌اند. از مجموع ۴۴۵ باند بوجود آمده، ۹۳/۷۲ درصد چند شکل بودند. تکنیک DAMA در مقایسه با روش RAPD چندشکلی بیشتری نشان داد. براساس دنдрوگرام معلوم شد که تنوع جغرافیایی ژنوتیپ‌ها از تنوع ژنتیکی پیروی نمی‌کند و گیاهان وحشی انار مستقل از وابستگی‌های جغرافیایی-شان هستند. نتایج نشان داد که عدم انتظام بین منطقه جغرافیایی نمونه‌ها و ویژگی‌های ژنتیکی‌شان، یک ویژگی از ژرم‌پلاسم انار می‌باشد (Narzary 2009).

در تحقیق حاضر نیز تنوع مولکولی اکثر ژنوتیپ‌ها مطابق بر تنوع جغرافیایی آنها بود. عدم تطابق کامل تنوع مولکولی با تنوع جغرافیایی توده‌های انار می‌تواند به دلیل جایگایی ژرم‌پلاسم باشد. در مجموع نتایج نشان می‌دهد که تنوع بالایی برای گونه‌های انار بومی استان کرمان حتی در ژنوتیپ‌های نزدیک به هم از نظر جغرافیایی وجود دارد. این تنوع ژنتیکی بالا احتمالاً به آنها اجازه می‌دهد که با تغییرات محیطی آسانتر سازگار شوند. در چنین تنوع بالایی می‌تواند در مدیریت و حفاظت ژرم‌پلاسم‌های انار مفید باشد. مجموع مطالعات انجام شده بر روی توده‌های انار نشان می‌دهند که نشانگر مولکولی RAPD و ISSR برای بررسی تنوع ژنتیکی بین این ژنوتیپ‌ها مناسب بوده و توانسته دامنه وسیعی از تنوع را نشان داده و ژنوتیپ‌ها را به خوبی گروه‌بندی کرد. طی دو دهه اخیر کاربرد برخی ترکیب‌های طبیعی مانند عصاره‌ها و اسانس‌های گیاهی جهت کترل بیولوژیک عوامل بیماری‌زا مورد توجه قرار گرفته‌اند. پوست انار سرشار از ترکیبات ضد باکتریایی است (Growther et al. 2012). محتوای فنولیک پوست میوه انار ۸/۱ برابر محتوای فنولیک برگ آن و ظرفیت آنتی اکسیدانی پوست میوه، بذر و برگ درخت انار به ترتیب ۵۵/۳، ۳۵/۷ و ۱۶/۴ درصد مشخص شد. بنابراین به نظر می‌رسد که محتوای فنولیکی بالای پوست و بذر انار می‌تواند خاصیت ضد

در یک پژوهش به منظور بررسی تفاوت‌های ژنتیکی درون و بین جمعیت‌های انار از نشانگرهای AFLP استفاده کردند. هشت ترکیب آغازگری جهت بررسی تنوع ژنتیکی ۸۵ رقم انار از شش جمعیت جغرافیایی شامل ایالت‌های شاندونگ، آنهوی، شانکسی، یوونان، هنان و گرینجیانگ مورد بررسی قرار گرفتند. بوسیله هشت ترکیب آغازگری، ۱۳۵ تا ۱۸۵ مکان چندشکلی بدست آمد. درصد چندشکلی بین ۸۶/۵ تا ۶۲/۵ درصد متغیر بود که نشان دهنده تنوع ژنتیکی بالا در بین ارقام انار بود. و مشابه با این تحقیق تنوع ژنتیکی در میان گونه‌ها بیشتر از تنوع ژنتیکی موجود بین جمعیت‌ها بود. تجزیه واریانس نشان داد که بین جمعیت‌ها از نظر تنوع ژنتیکی تفاوت معنی‌داری وجود دارد. جریان ژنی اندازه‌گیری شده بین جمعیت‌ها بر اساس ضریب تفاوت ژنتیکی بین ۱/۹۰۲۷ است، بنابراین جریان ژنی ملایمی بین جمعیت‌ها وجود دارد. بر اساس تجزیه خوشه‌بندی UPGMA که اغلب ارقام یک جمعیت یکسان با یکدیگر در یک خوشه قرار گرفته بودند، اما اندکی تنوع ژنتیکی نیز مشاهده شد. همه پارامترهای ژنتیکی محاسبه شده نشان دادند که تنوع فراوانی در ارقام انارچینی وجود داشت و تنوع جمعیت هنان به صورت معنی داری بالاتر از دیگر جمعیت‌ها بود (Yuan et al. 2007). در تحقیقی با استفاده از ویژگی‌های مورفو‌لوزیکی میوه و مارکر مولکولی RAPD روابط خویشاوندی، تنوع ژنتیکی و مورفو‌لوزیکی ارقام انار بی‌هسته ایرانی بررسی شد. میوه در این ارقام اندازه‌گیری شد. با استفاده از تجزیه فاکتور، ده فاکتور اصلی محاسبه شد و جهت گروه‌بندی ارقام با استفاده از روش وارد بکار گرفته شد. براین اساس ارقام به سه گروه اصلی تقسیم‌بندی شدند. از ۲۹ آغازگر ده نوکلئوتیدی، ۱۴ مورد چند شکلی مناسبی نشان دادند، و در مجموع ۴۳ مارکر RAPD تولید شد. تخمین تشابه ژنتیکی، با استفاده از ضریب تشابه جاکارد و داده‌های RAPD، بین ۰/۱۳ تا ۰/۱ متغیر بود. با مقایسه دو دنдрوگرام نشانگر مورفو‌لوزیکی با نشانگر RAPD ضریب همبستگی بسیار پایینی ( $r=-0.36$ ) به دست آمد. بر اساس این مطالعه برای تشخیص ارقام انار بی‌هسته خصوصیات میوه و مارکر RAPD، تکمیل کننده‌اند (Sarkhosh 2009). دو نشانگر مبتنی بر PCR را به منظور بررسی تنوع و ساختار ژنتیکی در جمعیت‌های

میوه، خصوصیات فیزیولوژیکی و منطقه جغرافیایی مربوط می-شود بلکه از نظر ژنتیکی نیز بر اساس مطالعه حاضر این سه نوع انار با یکدیگر متفاوت بودند و در دو کلاستر مختلف قرار داشتند. با توجه به ترکیبات زیاد شناسایی شده، تحقیقات بیشتر برای شناسایی عمل هر ترکیب و استفاده از آن‌ها در درمان بیماری‌ها ضروری به نظر می‌رسد.

### منابع

- ASTA (1968) Official analytical methods of the American Spice Trade Association. Englewood Cliffs, NJ:8-11.
- Aviram M, Dornfeld L, Kaplan M (2000) Pomegranate juice flavonoids inhibit low-density lipoprotein oxidation and cardiovascular diseases: studies in atherosclerotic mice and in humans. *Drugs Under Experimental and Clinical Research* 28: 49- 62.
- Bhaskar A (2012) phytochemical evalution by GC-MS and in vitro antioxidant activity of *Punica granatum* fruit rind extract. *Journal of Chemical and Pharmaceutical Reserch* 4:2869-2873.
- Ercisli S, Agar G, Orhan E, Yildirim N, Hizarci Y (2007) Interspecific variability of RAPD and fatty acid composition of some pomegranate cultivars (*Punica granatum* L.) growing in Southern Anatolia Region in Turkey. *Biochemical Systematics and Ecology* 35: 764-769.
- Ercisli S, Kafkas E, Orhan E, Kafkas S, Dogan Y, Esitken A (2011) Genetic characterization of pomegranate (*Punica granatum* L.) genotypes by AFLP markers. *Biological Research* 44: 345-350.
- Growther L, Sukirtha K, Savitha N, Niren Andrew S (2012) Antibacterial activity of *Punica granatum* peel extract against Shiga toxin producing *E. coli*. *International Journal of Life Sciences Biotechnology and Pharma Research* 4:163-173.
- Hajiahmadi Z, Talebi M, Sayed-Tabatabaei BE (2013) Studying genetic variability of pomegranate (*Punica granatum* L.) based on chloroplast DNA and barcode genes. *Molecular Biotechnology* 55:249-259.
- Hoque ME, Mishra SK, Sarker A (2002) Inheritance and linkage relationship between morphological and RAPD markers in lentil (*Lens culinaris* Medik). *Indian Journal of Genetics and Plant Breeding* 62: 5-10.
- Huff DR, Peakall R, Smouse PE (1993) RAPD variation within and among natural populations of outcrossing buffalograss [Buchloë dactyloides (Nutt.) Engelm.]. *Theoretical and Applied Genetics* 86:927-934.
- Jbir R, Hasnaoui N, Mars M, Marrakchi M, Trifi M (2008) Characterization of Tunisian pomegranate (*Punica granatum* L.) cultivars using amplified fragment length polymorphism analysis. *Scientia Horticulturae* 115: 231-237.

قارچی و ظرفیت آنتی اکسیدانی قوی این عصاره‌ها را بوجود آورد (Selah varzi et al. 2011).

روش‌های مختلف استخراج و بهره‌گیری از حلال‌های مختلف (آب، اتانول و متان) سبب وجود مواد فعال بیولوژیکی متفاوت در انسان پوست آن در تحقیقات مختلف شد (Growther et al. 2012). در این تحقیق از روش استخراج یکسان و آب به عنوان حلال برای استحصال هر سه انسان پوست انار استفاده شد و مشخص شد که ترکیبات گرانیل استون، دیلپیول، کورکومن و کدرین فقط در انسان پوست انار شیرین چترود قابل شناسایی بودند و ماده تترادکانال بطور اختصاصی در انسان پوست انار ملس ماهان شناسایی شد. همچنین در انسان پوست انار ترش کوهبنان ۴۰ ماده با شباهت بیش از ۹۰ وجود داشت و ترکیبات سینامالدھید، گیرجیونه، دودکانال، بنزن، یونی دکانال، تری دکان، یونی دکنال، هگزیل تیگلات، تریکوزان، متیل یونی دکانوات، دکنال، نفتان، آلفا تریپینول و نوتانال فقط در این انسان مشاهده شدند. بیش از ده ماده شناسایی شده در هر سه انسان وجود داشتند با این تفاوت که مقدار آن متفاوت بود. در تحقیقی که روستاییان و همکاران بر روی ۴ نمونه پوست انار با استفاده از روش GC-MS انجام دادند ترکیباتی شامل پالمیتیک اسید، استریک اسید، اکوزونیک اسید، اولئیک اسید، آلفا لینویک اسید و لینولئیک اسید شناسایی شد. همچنین نشان داده شد که ماده ایکوزان در نمونه انار ترش بیشتر از شیرین بود که در نمونه انار شیرین چترود ما نیز وجود نداشت (Rustaiyan et al. 2013). طی مطالعه‌ای بر روی عصاره پوست انار هندی ۱۸ ترکیب شامل پیروگالول، هیدروکسی متیل فورفورال، دی آلوز و دی متیل فوماریک اسید شناسایی شد که با مواد بدست آمده از این تحقیق مشابهت پایینی داشتند و دلیل این تنوع شیمیایی می‌تواند ناشی از تنوع جغرافیایی و اقلیمی مناطق باشد (Sangeetha et al. 2011). در تحقیقی با استفاده از روش GC/MS در پوست انار ماده‌های ماتول، گلیسرول، پیروگالول، هگزادکان، پالمیتیک اسید و اکتاکان شناسایی شدند که با یافته‌های ما اندکی مشابهت داشت مانند اکتاکان و هگزادکان (Anusha 2011). تفاوت ترکیبات قابل شناسایی در انسان پوست سه نوع انار ترش کوهبنان، ملس ماهان و شیرین چترود نه تنها به تفاوت به مزه دانه و رنگ پوست

Križman M, Jakše J, Baričevič D, Javornik B, Prošek M (2006) Robust CTAB-activated charcoal protocol for plant DNA extraction. *Acta agriculturae Slovenica* 87: 427-433.

Kumar P, Kumaravel S, Lalitha C (2010) Screening of antioxidant activity, total phenolics and GC-MS study of Vitex negundo. *African Journal of Biochemistry Research* 4:191-195.

Legault J, Pichette A (2007) Potentiating effect of betacaryophyllene on anticancer activity of alpha-humulene, isocaryophyllene and paclitaxel. *Journal of Pharmacology and Pharmacotherapeutics* 59:1643-1647.

Melgarejo P, Martínez JJ, Hernández F, Martínez F, Legua R, Oncina R, Martínez-Murcia A (2009) Cultivar identification using 18S-28S rDNA intergenic spacer-RFLP in pomegranate (*Punica granatum* L.). *Scientia Horticulturae* 120: 500-503.

Mirjalili A (2002) Known of Pomegranate. First edition. nashr publication of agriculture sciences. (In Farsi).

Morris J (2007) A molecular phylogeny of the Lythraceae and inference of the evolution of heterostyly. PhD thesis, Kent State University, Ohio.

Narzary D, Mahar KS, Rana TS, Ranade SA (2009) Analysis of genetic diversity among wild pomegranates in Western Himalayas, using PCR methods. *Scientia Horticulturae* 121: 237-242.

Noormohammadi Z (2010) Genetic variation among Iranian pomegranates (*Punica granatum* L.) using RAPD, ISSR and SSR markers. *Australian Journal of Crop Science* 6: 268-275.

Parvaresh M, Talebi M, Sayed-Tabatabaei BE (2012) Molecular diversity and genetic relationship of pomegranate (*Punica granatum* L.) genotypes using microsatellite markers. *Scientia Horticulturae* 138:244-252.

Pirseyedi SM, Valizadehghan S, Mardi M, Ghaffari MR, Mahmoodi P, Zahravi M, Nekoui SMK (2010) Isolation and characterization of novel microsatellite markers in pomegranate (*Punica granatum* L.). *International Journal of Molecular Sciences* 11:2010-2016.

Rohlf FJ (1998) NTSYS-pc: numerical taxonomy and multivariate analysis system, version 2/02.

Rustaiyan A, Keivandokht S, Elahi Kurabaslo S, Taghizade M (2013) Extraction analysis and study of antioxidant activity and total phenolic of pomegranate seed oil from four different regions of Iran. *Nature and Science* 11:14-18.

Sangeetha J, Vijayalakshmi K (2011) Determinate of Bioactive Components of Ethyl Acetal Fraction of *punica granatum* Rind Extract .*International Journal Pharmaceutical Sciences and Drug Research* 3:116-122

Sarkhosh A, Zamani Z, Fatahi R, Ebadi A (2006) RAPD markers reveal polymorphism among some Iranian

pomegranate (*Punica granatum* L.) genotypes. *Scientia Horticulturae* 111: 24-29.

Sarkhosh A, Zamani Z, Fatahi R, Ranjbar H (2009) Evaluation of genetic diversity among Iranian soft-seed pomegranate accessions by fruit. *Scientia Horticulturae* 121:313-319.

Selah varzi y, Terani far A, Jahan bakhsh V (2011) *Iranian Journal of Medicinal and Aromatic Plants* 2:47-56 (In Farsi)

Shahr Babaki B (1998) Genetic Diversity of Pomegranate Genotypes in Iran. Agriculture Education Publication. Karaj, Iran. pp: 265. (In Farsi)

Sheidai M, Saneghi A, Shahreiyari ZH, Noormohammadi Z, Farahanei F, Tabatabaei Ardakanei S (2008) RAPD and cytogenetic study of some pomegranate (*Punica Granatum* L.) cultivars. *International Journal of Cytology Cytosystematics and Cytogenetics* 6:68-73.

Soleimani MH, Talebi M, Sayed-Tabatabaei BE (2012) Use of SRAP markers to assess genetic diversity and population structure of wild, cultivated, and ornamental pomegranates (*Punica granatum* L.) in different regions of Iran. *Plant Systematics and Evolution* 298: 1141-1149.

Sun G, Wang-Pruski G, Mayich M (2003) RAPD and pedigree-based genetic diversity estimates in cultivated diploid potato hybrids. *Theoretical and Applied Genetics* 107: 110-115.

Talebi BM, Bahar Masoud SB, Yamchi A (2011) Evaluation of genetic diversity among Iranian pomegranate (*Punica granatum* L.) cultivars, using ISSR and RAPD markers. *Journal of Taxonomy and Biosystematics* 8:35-44.

The third seminar of pomegranate, Saveh, Iran (1994) First Edition. Zarah bin Publication. (In Farsi)

Usharani S, Chitra M (2013) GC-MS Analysis Of Methanol Extract Of Leaf Of Wattakaka Volubilis. *International Research Journal of Pharmaceutical and Applied Sciences* 3:161-165

Wei L, Wee W, Siong Y, Syamsumir D (2011) Characterization of Anticancer, Antimicrobial, Antioxidant Properties and Chemical Compositions of Peperomia pellucida Leaf Extract. *Acta Medica Iranica* 49: 670-674.

Wu L, Chiang Y, Chuang H, Wang S, Yang G, Chen Y, Lai L, Shyur L (2004) Polyacetylenes function as anti-angiogenic agents. *Pharmaceutical Research* 21:2112-9.

Yuan Z, Yin Y, Qu J, Zhu L, Li Y (2007) Population Genetic Diversity in Chinese Pomegranate (*Punica granatum* L.) Cultivars Revealed by Fluorescent-AFLP Markers. *Journal of Genetics and Genomics* 34: 1061-1071

Zargari A (1996) Medicinal plant (2). University of Tehran Publication. Tehran, Iran. pp: 465.